

УДК 519.682

Застосування пакету MathCad до розрахунку мостових елементів конструкцій

Iванік Є. Г., Сікора О. В., Берегуляк Л. В.

Львівський національний аграрний університет,

кафедра вищої математики, вул. В. Великого, м. Дубляни, 80381

Дрогобицький державний педагогічний університет імені Івана Франка,

кафедра інформатики та обчислювальної математики, вул. Стрийська, 3, м. Дрогобич, 82100

Показано можливість застосування пакету MathCAD до розрахунку трьохелементної мостової опори методом скінченних елементів (МСЕ). Використано варіаційно-різницеву схему, яка будеться на основі загальної ідеї розчленування складної технічної системи на елементи, що природнім чином приводить до поняття скінченного елемента. Сформована програма застосовна до розрахунку одно-, двох- і трьохелементної мостової опори.

1. Вступ

Можливості пакета MathCAD [1, 2] дозволяють ефективно описати обчислювальні алгоритми в математичних позначеннях, виконати їх і оформити результат. Пакет добре сполучає математичний опис проблеми, обчислювальні можливості і засоби відображення ПК. Інтегрований пакет MathCAD — це ще один крок до удосконалення в галузі комп’ютерної технології розв’язання обчислювальних задач і автоматизованого проектування науково-технічних досліджень у різних галузях людської діяльності. Система MathCAD достатньо проста в освоєнні та використанні і потребує мінімальних навиків роботи на ПК. Розглянемо як ілюстрацію застосування пакета до розрахунку трьохелементної мостової опори методом скінченних елементів (МСЕ).

За часів СРСР щорічно будували декілька сотень мостів та тисячі малих штучних споруд на дорогах. У спадок Україні залишилось понад тисячу мостових споруд, з яких значна частина потребує ремонту та реконструкції. Тому актуальною є проблема здійснення проектних робіт з ремонту і реконструкції автомобільних і залізничних мостів, невід’ємною складовою яких є моделювання та розрахунок напруженно-деформованого стану, що існує в конструкціях мостових будівель і споруд. Ця проблема має комплексний характер і містить наукову, технічну та фахову складові. Для виконання значної за обсягом кількості проектних робіт, які до того ж мають нестандартний характер, необхідно здійснити великий обсяг наукових досліджень. Наукові розробки, своєю чергою, необхідно трансформувати в технічні засоби, основним з яких має стати певний програмний продукт, за допомогою якого провадиться проектування. Для виконання наукових розробок необхідно докладання зусиль кваліфікованих фахівців. Вимоги до математичної підготовки сучасного інженера, який займається науково-прикладними проблемами, постійно зростають. Це висуває нові вимоги до його наукової кваліфікації. Крім грунтовних знань за свою основною спеціальністю йому необхідно знати і вміти використовувати в практичній діяль-

ності можливості обчислювальної техніки, сучасні математичні методи. Варто мати на увазі, що бурхливий розвиток швидкодіючих обчислювальних комплексів зробило вельми актуальним удосконалення і розвиток числових методів розв’язання задач, які виникають з потреб інженерної практики. Тому інженер-дослідник має вміти вибирати комбінації різних відомих методів і здійснювати їх реалізацію в середовищі відповідних прикладних програм цільового призначення.

Абревіатура МСЕ відома кожному фахівцю, що займається питаннями математичного моделювання технічних систем — це метод скінченних елементів. Сьогодні МСЕ — один з найбільш ефективних методів розв’язування крайових задач математичної фізики. Різні аспекти застосування МСЕ відображені в монографіях [3, 4, 5].

Оскільки помилки в оцінюванні технічних характеристик міцності і деформативності матеріалів конструкцій, відхилення від проектних рішень під час будівництва та експлуатації може привести до аварійного стану будівель і споруд, то поставимо за мету розв’язання комплексної науково-технічної проблеми на прикладі моделювання деформації мостової опори.

Сьогодні задачі обчислювального характеру з використанням персональних комп’ютерів можна розв’язувати на трьох основних рівнях: 1) в середовищі вибраної системи програмування; 2) на основі спеціальних обчислювальних процедур і програм; 3) за допомогою спеціальних пакетів програм. Серед засобів третього рівня особливої уваги заслуговує інтегрований багатофункціональний пакет MathCAD фірми MathSoft Inc.

2. Постановка задачі розрахунку деформації мостової опори під дією зосередженого зовнішнього навантаження

Реалізацію МСЕ виконаємо із застосуванням пакета MathCAD [1, 2]. Виникає питання: навіщо MathCAD, якщо є спеціально адаптовані системи для моделювання і розрахунку напруженно-деформованого стану будівельних конструкцій, зокрема мостових. Особливість цієї системи, орієнтованої на професійних математиків, що займа-

ються прикладними дослідженнями, у тому, що вона оперує звичними для програмістів та науковців математичними залежностями, а також містить значну кількість логічних операторів, що дозволяє враховувати під час розв'язування прикладних задач багатоваріантність. Той чи інший математичний метод, реалізований науковцем, що займається дослідженням будівельних конструкцій, у системі MathCAD, легко сприймає математико-програміст, який має трансформувати його в спеціалізований програмний засіб. Інтегрований пакет MathCAD — це ще один крок до удосконалення в галузі комп'ютерних технологій розв'язування обчислювальних задач і автоматизованого проектування науково-технічних досліджень. Представляючи в середовищі пакета обчислювальний алгоритм і пояснення (коментарі) до нього, користувач формує документ, який можна зберегти в пам'яті ПК для подальшого використання і удосконалення. Готовий документ можна вивести на екран дисплея, принтер і/або плоттер, що особливо зручний у разі підготовки різних науково-технічних звітів.

У роботі [6] описано розрахунок деформації одного розтягнутого (стиснутого) скінченного елемента у формі стержня, але відсутній приклад розрахунку конструкції з кількох скінченних елементів. Своєю чергою, в праці [7] дано опис загальної методики застосування МСЕ стосовно конструкції, розбитої на велику кількість скінченних елементів, але там розглянуто побудову матриці жорсткості тільки для одного окремого елемента.

3. Виклад основного матеріалу

Застосуємо матрицю жорсткості, описану в [4, 5], і загальну методику, розвинуту в [8], до конкретної математичної задачі — моделювання деформації мостової опори під дією зовнішнього силового навантаження зосередженою силою P , що складається з трьох скінченних елементів (рис. 1).

Розпочнемо з коректної постановки задачі і побудувавши для неї математичну модель, апаратом розв'язання якої буде МСЕ, реалізуємо отриманий алгоритм в системі MathCAD Professional.

З розрахункової схеми, наведеної на рис. 1, очевидно, що діючі на систему сили, напрямлені вздовж опори, а напруження і деформації розподілені по площині опори рівномірно.

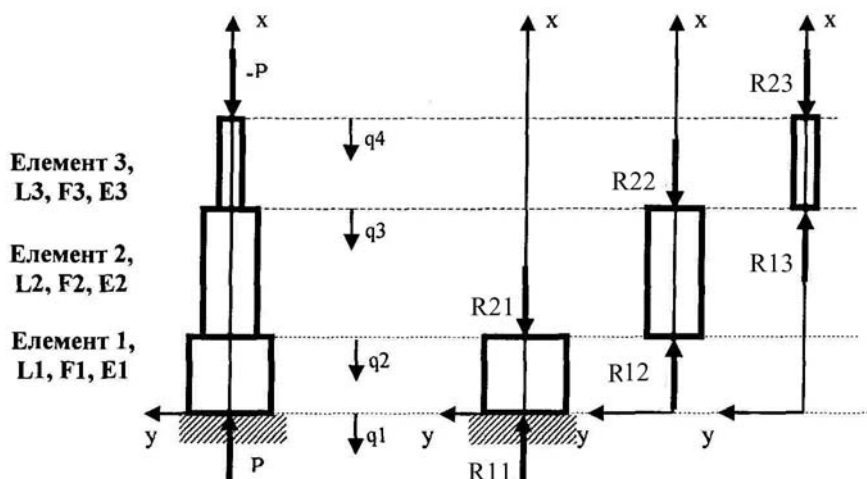


Рис. 1. Модель мостової трьохелементної опори

Будемо застосовувати функціонали теорії пружності [8, 9], які є ефективним засобом якісного аналізу варіаційних і диференціальних формульовань та є теоретичною основою для побудови прямих варіаційних і варіаційно-різницевих методів, які отримують все більшого розвитку і застосування завдяки зростаючим можливостям обчислювальної техніки. Використаємо варіаційно-різницеву схему, яка будується на основі загаль-

ної ідеї розчленування складної технічної системи на елементи, що природно приводить до поняття скінченного елемента. Розчленування зазвичай супроводжується механічним трактуванням, що виражено у виборі так званої основної системи (для якої додаткові умови виконано) і невідомих (розшукуються за допомогою часткового функціонала).

Функціонал повної потенціальної енергії опори має вигляд [10]

$$\Pi = \frac{1}{2} \int_0^L EF \left(\frac{du}{dx} \right)^2 dx - \int_0^L p(x) u(x) dx, \quad (1)$$

де $u(x)$ — зміщення, направлене вздовж осі абсцис; $\frac{du}{dx} = \varepsilon_x$ — деформація, відносне видовження (стиск); $E \frac{du}{dx} = \sigma_x$ — нормальнє напруження, що рівномірно розподілене по перерізу площею F мостової опори; $p(x)$ — функція, яка описує інтенсивність зовнішніх сил, діючих вздовж опори; L — довжина відповідного скінченного елемента; E — модуль Юнга матеріалу континууму, що займає скінчений елемент.

Оскільки у функціонал виду (1) входять тільки перші похідні переміщень, то їх можна апроксимувати поліномами першого степеня

$$u(x) = \alpha_1 + \alpha_2 x. \quad (2)$$

Кожен i -й елемент має два ступені вільності — q_i та q_{i+1} . Знайдемо зв'язок між коефіцієнтами полінома (2) та степенями вільності.

Використавши загальну методику, описану в працях [7, 11], для кожного із скінченних елементів, визначаємо коефіцієнти полінома (2), координатні функції та функцію переміщень через ступені вільності і координатні функції. У результаті виконання відповідних процедур дістаємо:

скінчений елемент 1 –
коефіцієнти полінома

$$\begin{pmatrix} \alpha_{11} \\ \alpha_{12} \end{pmatrix} = \begin{pmatrix} 1 & 0 \\ 1 & L_1 \end{pmatrix}^{-1} \cdot \begin{pmatrix} q_1 \\ q_2 \end{pmatrix} = \begin{pmatrix} q_1 \\ -\frac{q_1}{L_1} + \frac{q_2}{L_1} \end{pmatrix},$$

координатні функції

$$f_{11} = 1 - \frac{x}{L_1}, \quad f_{12} = \frac{x}{L_1},$$

функція переміщень першого скінченного елемента

$$u_1(x, q_1, q_2) = q_1 \cdot f_{11} + q_2 \cdot f_{12};$$

скінчений елемент 2 –
коефіцієнти полінома

$$\begin{pmatrix} \alpha_{21} \\ \alpha_{22} \end{pmatrix} = \begin{pmatrix} 1 & L_1 \\ 1 & L_1 + L_2 \end{pmatrix}^{-1} \cdot \begin{pmatrix} q_2 \\ q_3 \end{pmatrix} = \begin{pmatrix} \frac{L_1 + L_2}{L_2} \cdot q_2 - \frac{L_1}{L_2} \cdot q_3 \\ -\frac{q_2}{L_2} + \frac{q_3}{L_2} \end{pmatrix},$$

скінчений елемент 2 –

$$[K_{22}]^e = E_2 F_2 \begin{bmatrix} \int_0^{L_1} \frac{d u_2(x, 1, 0)}{dx} \times \int_0^{L_1} \frac{d u_2(x, 1, 0)}{dx} dx & \int_0^{L_1} \frac{d u_2(x, 1, 0)}{dx} \times \int_0^{L_1} \frac{d u_2(x, 0, 1)}{dx} dx \\ \int_0^{L_1} \frac{d u_2(x, 0, 1)}{dx} \times \int_0^{L_1} \frac{d u_2(x, 1, 0)}{dx} dx & \int_0^{L_1} \frac{d u_2(x, 0, 1)}{dx} \times \int_0^{L_1} \frac{d u_2(x, 0, 1)}{dx} dx \end{bmatrix} =$$

координатні функції

$$f_{21} = \frac{L_1 + L_2}{L_2} - \frac{x}{L_2}, \quad f_{22} = -\frac{L_1}{L_2} + \frac{x}{L_2},$$

функція переміщень другого скінченного елемента

$$u_2(x, q_2, q_3) = q_2 \cdot f_{21} + q_3 \cdot f_{22};$$

скінчений елемент 3 –
коефіцієнти полінома

$$\begin{pmatrix} \alpha_{31} \\ \alpha_{32} \end{pmatrix} = \begin{pmatrix} 1 & L_1 + L_2 \\ 1 & L_1 + L_2 + L_3 \end{pmatrix}^{-1} \cdot \begin{pmatrix} q_3 \\ q_4 \end{pmatrix} = \begin{pmatrix} \frac{L_1 + L_2 + L_3}{L_3} \cdot q_3 - \frac{L_1 + L_2}{L_3} \cdot q_4 \\ -\frac{q_3}{L_3} + \frac{q_4}{L_3} \end{pmatrix},$$

координатні функції

$$f_{31} = \frac{L_1 + L_2 + L_3}{L_3} - \frac{x}{L_3}, \quad f_{32} = -\frac{L_1 + L_2}{L_3} + \frac{x}{L_3},$$

функція переміщень третього скінченного елемента

$$u_3(x, q_3, q_4) = q_3 \cdot f_{31} + q_4 \cdot f_{32}.$$

Матрицю коефіцієнтів жорсткості визначимо за формулою, наведеною в роботі [8]

$$k_{ij} = \int_0^L \sigma_i(x) \varepsilon_j(x) dx = \int_0^L EF \left(\frac{du}{dx} \right)_i \cdot \left(\frac{du}{dx} \right)_j dx, \quad (i = 1, 2; j = 1, 2).$$

У результаті для розглядуваних скінченних елементів дістаємо:

скінчений елемент 1 –

$$[K_{11}]^e = E_1 F_1 \begin{bmatrix} \int_0^{L_1} \frac{d u_1(x, 1, 0)}{dx} \times \int_0^{L_1} \frac{d u_1(x, 1, 0)}{dx} dx & \int_0^{L_1} \frac{d u_1(x, 1, 0)}{dx} \times \int_0^{L_1} \frac{d u_1(x, 0, 1)}{dx} dx \\ \int_0^{L_1} \frac{d u_1(x, 0, 1)}{dx} \times \int_0^{L_1} \frac{d u_1(x, 1, 0)}{dx} dx & \int_0^{L_1} \frac{d u_1(x, 0, 1)}{dx} \times \int_0^{L_1} \frac{d u_1(x, 0, 1)}{dx} dx \end{bmatrix} =$$

$$= \begin{bmatrix} \frac{1}{L_1} E_1 F_1 & -\frac{1}{L_1} E_1 F_1 \\ -\frac{1}{L_1} E_1 F_1 & \frac{1}{L_1} E_1 F_1 \end{bmatrix};$$

$$= \begin{bmatrix} \left(\frac{L_1+L_2}{L_2^2} - \frac{L_1}{L_2^2}\right) E_2 F_2 & \left(-\frac{L_1+L_2}{L_2^2} + \frac{L_1}{L_2^2}\right) E_2 F_2 \\ \left(-\frac{L_1+L_2}{L_2^2} + \frac{L_1}{L_2^2}\right) E_2 F_2 & \left(\frac{L_1+L_2}{L_2^2} - \frac{L_1}{L_2^2}\right) E_2 F_2 \end{bmatrix};$$

скінчений елемент 3 –

$$\begin{aligned} [K_{33}]^e &= E_3 F_3 \begin{bmatrix} \int_{L_1+L_2}^{L_1+L_2+L_3} \frac{d u_3(x,1,0)}{dx} \cdot \frac{d u_3(x,1,0)}{dx} dx & \int_{L_1+L_2}^{L_1+L_2+L_3} \frac{d u_3(x,1,0)}{dx} \cdot \frac{d u_3(x,0,1)}{dx} dx \\ \int_{L_1+L_2}^{L_1+L_2+L_3} \frac{d u_3(x,0,1)}{dx} \cdot \frac{d u_3(x,1,0)}{dx} dx & \int_{L_1+L_2}^{L_1+L_2+L_3} \frac{d u_3(x,0,1)}{dx} \cdot \frac{d u_3(x,0,1)}{dx} dx \end{bmatrix} = \\ &= \begin{bmatrix} \left(\frac{L_1+L_2+L_3}{L_3^2} - \frac{L_2}{L_3^2}\right) E_3 F_3 & \left(-\frac{L_1+L_2+L_3}{L_3^2} + \frac{L_2}{L_3^2}\right) E_3 F_3 \\ \left(-\frac{L_1+L_2+L_3}{L_3^2} + \frac{L_2}{L_3^2}\right) E_3 F_3 & \left(\frac{L_1+L_2+L_3}{L_3^2} - \frac{L_2}{L_3^2}\right) E_3 F_3 \end{bmatrix}. \end{aligned}$$

Незв'язна глобальна матриця згідно з залежностями, поданими в роботі [4], матиме вигляд

$$[K]^e = \begin{bmatrix} [K_{11}]^e & [0] & [0] \\ [0] & [K_{22}]^e & [0] \\ [0] & [0] & [K_{33}]^e \end{bmatrix},$$

де

$$\begin{aligned} [K_{11}]^e &= \begin{bmatrix} k_{11} & k_{12} \\ k_{21} & k_{22} \end{bmatrix}, \quad [K_{22}]^e = \begin{bmatrix} k_{33} & k_{34} \\ k_{43} & k_{44} \end{bmatrix}, \\ [K_{33}]^e &= \begin{bmatrix} k_{55} & k_{56} \\ k_{65} & k_{66} \end{bmatrix}, \quad k_{ij} \text{ – коефіцієнти жорсткості скінчених елементів в глобальній нумерації } i = \overline{1, 6}; j = \overline{1, 6}. \end{aligned}$$

Глобальна кінематична матриця $[A]$ трьохелементної опори моста і глобальна матриця жорсткості $[K]$ на основі формул з монографії [12] будуть:

$$[A] = \begin{bmatrix} 1 & 0 & 0 & 0 \\ 0 & 1 & 0 & 0 \\ 0 & 1 & 0 & 0 \\ 0 & 0 & 1 & 0 \\ 0 & 0 & 1 & 0 \\ 0 & 0 & 0 & 1 \end{bmatrix}, \quad [K] = [A]^T \cdot [K]^e \cdot [A],$$

звідки отримуємо

$$\begin{aligned} [K] &= \begin{bmatrix} K_{11} & K_{12} & K_{13} & K_{14} \\ K_{21} & K_{22} & K_{23} & K_{24} \\ K_{31} & K_{32} & K_{33} & K_{34} \\ K_{41} & K_{42} & K_{43} & K_{44} \end{bmatrix} = \\ &= \begin{bmatrix} \frac{1}{L_1} E_1 F_1 & -\frac{1}{L_1} E_1 F_1 & 0 & 0 \\ -\frac{1}{L_1} E_1 F_1 & \frac{1}{L_1} E_1 F_1 + \left(\frac{L_1+L_2}{L_2^2} - \frac{L_1}{L_2^2}\right) E_2 F_2 & \left(-\frac{L_1+L_2}{L_2^2} + \frac{L_1}{L_2^2}\right) E_2 F_2 & 0 \\ 0 & \left(-\frac{L_1+L_2}{L_2^2} + \frac{L_1}{L_2^2}\right) E_2 F_2 & \left(\frac{L_1+L_2}{L_2^2} - \frac{L_1}{L_2^2}\right) E_2 F_2 + \left(\frac{L_1+L_2+L_3}{L_3^2} - \frac{L_1+L_2}{L_3^2}\right) E_3 F_3 & 0 \\ 0 & 0 & \left(-\frac{L_1+L_2+L_3}{L_3^2} + \frac{L_1+L_2}{L_3^2}\right) E_3 F_3 & \left(\frac{L_1+L_2+L_3}{L_3^2} - \frac{L_1+L_2}{L_3^2}\right) E_3 F_3 \end{bmatrix}. \end{aligned}$$

Глобальне рівняння жорсткості для опори моста, що пов'язує зовнішні сили та лінійні переміщення вузлів, на основі [8], запишеться так:

$$\{P\} = [K] \cdot \{q\}. \quad (3)$$

Перепишемо рівняння (3), згрупувавши відносно ступенів вільності, що відповідають закріпленим зв'язкам (в цьому випадку це один зв'язок опори з фундаментом q_1), і розбивши його на блоки:

$$\begin{Bmatrix} P_s \\ P_f \end{Bmatrix} = \begin{bmatrix} K_{ss} & K_{sf} \\ K_{fs} & K_{ff} \end{bmatrix} \cdot \begin{Bmatrix} q_s \\ q_f \end{Bmatrix}.$$

Оскільки $q_s = q_1 = 0$, то

$$\{P_f\} = [K_{ff}] \cdot \{q_f\}, \quad \{P_s\} = [K_{sf}] \cdot \{q_f\}, \quad (4)$$

де

$$[K_{ff}] = \begin{bmatrix} \frac{1}{L_1} E_1 F + \left(\frac{L_1+L_2}{L_2^2} - \frac{L_1}{L_2^2}\right) E_2 F_2 & \left(-\frac{L_1+L_2}{L_2^2} + \frac{L_1}{L_2^2}\right) E_2 F_2 & 0 \\ \left(-\frac{L_1+L_2}{L_2^2} + \frac{L_1}{L_2^2}\right) E_2 F_2 & \left(\frac{L_1+L_2}{L_2^2} - \frac{L_1}{L_2^2}\right) E_2 F_2 + \left(\frac{L_1+L_2+L_3}{L_3^2} - \frac{L_1+L_2}{L_3^2}\right) E_3 F_3 & \left(-\frac{L_1+L_2+L_3}{L_3^2} + \frac{L_2}{L_3^2}\right) E_3 F_3 \\ 0 & \left(-\frac{L_1+L_2+L_3}{L_3^2} + \frac{L_2}{L_3^2}\right) E_3 F_3 & \left(\frac{L_1+L_2+L_3}{L_3^2} - \frac{L_2}{L_3^2}\right) E_3 F_3 \end{bmatrix},$$

$$[K_{sf}] = \begin{bmatrix} -\frac{1}{L_1} E_1 F_1 & 0 & 0 \end{bmatrix}, \quad \{q_f\} = \begin{Bmatrix} q_2 \\ q_3 \\ q_4 \end{Bmatrix}, \quad \{P_f\} = \begin{Bmatrix} 0 \\ 0 \\ P \end{Bmatrix}.$$

Загальний розв'язок рівняння (4) в символічному вигляді буде

$$\{q_f\} = [K_{sf}]^{-1} \cdot \{P_f\}. \quad (5)$$

Реакція опори і реакції скінченних елементів опори моста на основі залежностей (4), (5) матимуть вигляд

$$\{P_s\} = [K_{sf}] \cdot \{q_f\}, \quad (6)$$

$$\begin{aligned} \begin{Bmatrix} R_{11} \\ R_{21} \end{Bmatrix} &= \begin{bmatrix} k_{11} & k_{12} \\ k_{21} & k_{22} \end{bmatrix} \cdot \begin{Bmatrix} q_1 \\ q_2 \end{Bmatrix}, \\ \begin{Bmatrix} R_{12} \\ R_{22} \end{Bmatrix} &= \begin{bmatrix} k_{33} & k_{34} \\ k_{43} & k_{44} \end{bmatrix} \cdot \begin{Bmatrix} q_2 \\ q_3 \end{Bmatrix}, \\ \begin{Bmatrix} R_{13} \\ R_{23} \end{Bmatrix} &= \begin{bmatrix} k_{55} & k_{56} \\ k_{65} & k_{66} \end{bmatrix} \cdot \begin{Bmatrix} q_3 \\ q_4 \end{Bmatrix}. \end{aligned} \quad (7)$$

Ефективність розробленої методики проілюструємо на прикладі числового алгоритму розрахунку трьохелементної мостової опори, який було реалізовано в системі MathCAD 2001 Professional згідно з отриманими залежностями (4)-(7).

Ідентифікатори змінних в програмі мають вигляд:

P – реакція фундамента; R11, R21, R12, R22, R13, R23 – реакції скінченних елементів; q1, q2, q3, q4 – лінійні переміщення вузлів; x, у – осі координат; L1, F1, E1; L2, F2, E2; L3, F3, E3 – довжина, площа перерізу та модуль Юнга відповідного скінченого елемента.

Послідовність виконання програми:

1) ввід вхідних даних

перший скінчений елемент

$$E1:=1.764 \times 10^{10} \frac{N}{m^2}, F1:=5 m^2, L1:=5 m;$$

другий скінчений елемент

$$E2:=1.764 \times 10^{10} \frac{N}{m^2}, F2:=3 m^2, L2:=5 m;$$

третій скінчений елемент

$$E3:=1.764 \times 10^{10} \frac{N}{m^2}, F3:=2 m^2, L3:=5 m;$$

Величина зовнішнього силового навантаження

$$P:=-2 \times 10^6 N.$$

2) розрахунок

перший скінчений елемент –

$u1(x)=\alpha 11 + \alpha 12 x$ – переміщення вздовж осі опори першого скінченного елемента, q1, q2 – ступені вільності першої опори; згідно з описаною вище методикою отримуємо

$$\begin{pmatrix} \alpha_{11} \\ \alpha_{12} \end{pmatrix} := \begin{pmatrix} 1 & 0 \\ 1 & L1 \end{pmatrix}^{-1} \cdot \begin{pmatrix} q1 \\ q2 \end{pmatrix},$$

$$\begin{pmatrix} \alpha_{11} \\ \alpha_{12} \end{pmatrix} \rightarrow \begin{pmatrix} q1 \\ \frac{-1}{5m} \cdot q1 + \frac{1}{5m} \cdot q2 \end{pmatrix},$$

отже,

$$u1(x, q1, q2) := (1 \ x) \cdot \begin{pmatrix} 1 & 0 \\ 1 & L1 \end{pmatrix}^{-1} \cdot \begin{pmatrix} q1 \\ q2 \end{pmatrix}$$

$$\text{series, } q1, q2 \rightarrow \left(1 - \frac{1}{5m} \cdot x\right) \cdot q1 + \frac{1}{5m} \cdot q2,$$

матриця жорсткості

$$Ke1 := E1 \cdot F1 \cdot \begin{pmatrix} \int_0^{L1} \frac{d}{dx} u1(x, 1, 0) \cdot \frac{d}{dx} u1(x, 1, 0) dx & \int_0^{L1} \frac{d}{dx} u1(x, 1, 0) \cdot \frac{d}{dx} u1(x, 0, 1) dx \\ \int_0^{L1} \frac{d}{dx} u1(x, 0, 1) \cdot \frac{d}{dx} u1(x, 1, 0) dx & \int_0^{L1} \frac{d}{dx} u1(x, 0, 1) \cdot \frac{d}{dx} u1(x, 0, 1) dx \end{pmatrix},$$

$$Ke1 = \begin{pmatrix} 1.764 \times 10^{10} & -1.764 \times 10^{10} \\ -1.764 \times 10^{10} & 1.764 \times 10^{10} \end{pmatrix} \frac{N}{m^2};$$

другий скінчений елемент –
 $u2(x)=\alpha 21 + \alpha 22 x$ – переміщення вздовж осі опори другого скінченного елемента, q2, q3 – ступені вільності другої опори; аналогічно, як у випадку першого елемента матимемо

$$\begin{pmatrix} \alpha_{21} \\ \alpha_{22} \end{pmatrix} := \begin{pmatrix} 1 & L1 \\ 1 & L1 + L2 \end{pmatrix}^{-1} \cdot \begin{pmatrix} q2 \\ q3 \end{pmatrix},$$

$$\begin{pmatrix} \alpha_{21} \\ \alpha_{22} \end{pmatrix} \rightarrow \begin{pmatrix} q2 \\ \frac{2}{5m} \cdot q2 - \frac{q3}{5m} \end{pmatrix},$$

отже,

$$u2(x, q2, q3) := (1 \ x) \cdot \begin{pmatrix} 1 & L1 \\ 1 & L1 + L2 \end{pmatrix}^{-1} \cdot \begin{pmatrix} q2 \\ q3 \end{pmatrix}$$

$$\text{series, } q2, q3 \rightarrow \left(2 - \frac{1}{5m} \cdot x\right) \cdot q2 + \left(-1 + \frac{1}{5m} \cdot x\right) \cdot q3,$$

матриця жорсткості

$$Ke2 := E2 \cdot F2 \cdot \begin{pmatrix} \int_{L1}^{L1+L2} \frac{d}{dx} u2(x, 1, 0) \cdot \frac{d}{dx} u2(x, 1, 0) dx & \int_{L1}^{L1+L2} \frac{d}{dx} u2(x, 1, 0) \cdot \frac{d}{dx} u2(x, 0, 1) dx \\ \int_{L1}^{L1+L2} \frac{d}{dx} u2(x, 0, 1) \cdot \frac{d}{dx} u2(x, 1, 0) dx & \int_{L1}^{L1+L2} \frac{d}{dx} u2(x, 0, 1) \cdot \frac{d}{dx} u2(x, 0, 1) dx \end{pmatrix},$$

$$Ke2 = \begin{pmatrix} 1.058 \times 10^{10} & -1.058 \times 10^{10} \\ -1.058 \times 10^{10} & 1.058 \times 10^{10} \end{pmatrix} \frac{N}{m^2};$$

третій скінчений елемент –

$u3(x) = \alpha 31 + \alpha 32 x$ – переміщення вздовж осі опори першого скінченного елемента, $q3, q4$ – ступені вільності третьої опори; звідси слідує

$$\begin{pmatrix} \alpha 31 \\ \alpha 32 \end{pmatrix} := \begin{pmatrix} 1 & L1 + L2 \\ 1 & L1 + L2 + L3 \end{pmatrix}^{-1} \cdot \begin{pmatrix} q2 \\ q3 \end{pmatrix},$$

$$\begin{pmatrix} \alpha 31 \\ \alpha 32 \end{pmatrix} \rightarrow \begin{pmatrix} 3 \cdot q3 - 2 \cdot q4 \\ \frac{-1}{5m} \cdot q3 + \frac{1}{5m} \cdot q4 \end{pmatrix},$$

матриця жорсткості

$$Ke3 := E3 \cdot F3 \cdot \begin{pmatrix} \int_{L1}^{L1+L2+L3} \frac{d}{dx} u3(x, 1, 0) \cdot \frac{d}{dx} u3(x, 1, 0) dx & \int_{L1}^{L1+L2+L3} \frac{d}{dx} u3(x, 1, 0) \cdot \frac{d}{dx} u3(x, 0, 1) dx \\ \int_{L1}^{L1+L2+L3} \frac{d}{dx} u3(x, 0, 1) \cdot \frac{d}{dx} u3(x, 1, 0) dx & \int_{L1}^{L1+L2+L3} \frac{d}{dx} u3(x, 0, 1) \cdot \frac{d}{dx} u3(x, 0, 1) dx \end{pmatrix},$$

$$Ke3 = \begin{pmatrix} 7.056 \times 10^9 & -7.056 \times 10^9 \\ -7.056 \times 10^9 & 7.056 \times 10^9 \end{pmatrix} \frac{N}{m^2}.$$

Глобальні характеристики та спiввiдношення для трьохелементної мостової опори є такими:
глобальна незв'язна матриця жорсткості –

$$Ke := \begin{pmatrix} Ke1_{1,1} & Ke1_{1,2} & 0 & 0 & 0 & 0 \\ Ke1_{2,1} & Ke1_{2,2} & 0 & 0 & 0 & 0 \\ 0 & 0 & Ke2_{1,1} & Ke2_{1,2} & 0 & 0 \\ 0 & 0 & Ke2_{2,1} & Ke2_{2,2} & 0 & 0 \\ 0 & 0 & 0 & 0 & Ke3_{1,1} & Ke3_{1,2} \\ 0 & 0 & 0 & 0 & Ke3_{2,1} & Ke3_{2,2} \end{pmatrix},$$

глобальна кiнематична матриця –

$$Kh = \begin{pmatrix} 1.764 \times 10^{10} & -1.764 \times 10^{10} & 0 & 0 \\ -1.764 \times 10^{10} & 2.822 \times 10^{10} & -1.058 \times 10^{10} & 0 \\ 0 & -1.058 \times 10^{10} & 1.764 \times 10^{10} & -7.056 \times 10^9 \\ 0 & 0 & -7.056 \times 10^9 & 7.056 \times 10^9 \end{pmatrix} \frac{N}{m^2},$$

1) лiнiйнi перемiщення вузлiв

$$Kff := \begin{pmatrix} Kh_{2,2} & Kh_{2,3} & Kh_{2,4} \\ Kh_{3,2} & Kh_{3,3} & Kh_{3,4} \\ Kh_{4,2} & Kh_{4,3} & Kh_{4,4} \end{pmatrix},$$

$$Ksf := \begin{pmatrix} Kh_{1,2} & 0 & 0 \end{pmatrix},$$

$$Pf := \begin{pmatrix} 0 \\ 0 \\ P \end{pmatrix}, \quad \begin{pmatrix} q2 \\ q3 \\ q4 \end{pmatrix} := Kff^{-1} \cdot Pf,$$

$$\begin{pmatrix} q1 \\ q2 \\ q3 \\ q4 \end{pmatrix} = \begin{pmatrix} 0 \\ -1.134 \times 10^{-4} \\ -3.023 \times 10^{-4} \\ -5.858 \times 10^{-4} \end{pmatrix} m$$

2) графіки лiнiйного перемiщення $u(x)$, нормального напруження $\sigma(x)$ та осьової сили $\sigma(x)F(x)$

$q1 := 0 \bullet m$ – згiдно за умовою закрiплення.

Результати числового розрахунку:

$$u(x) := \begin{cases} u1(x, q1, q2), & 0 \leq x < L1 \\ u2(x, q2, q3), & L1 \leq x < L1 + L2 \\ u3(x, q3, q4), & L1 + L2 \leq x < L1 + L2 + L3 \end{cases}$$

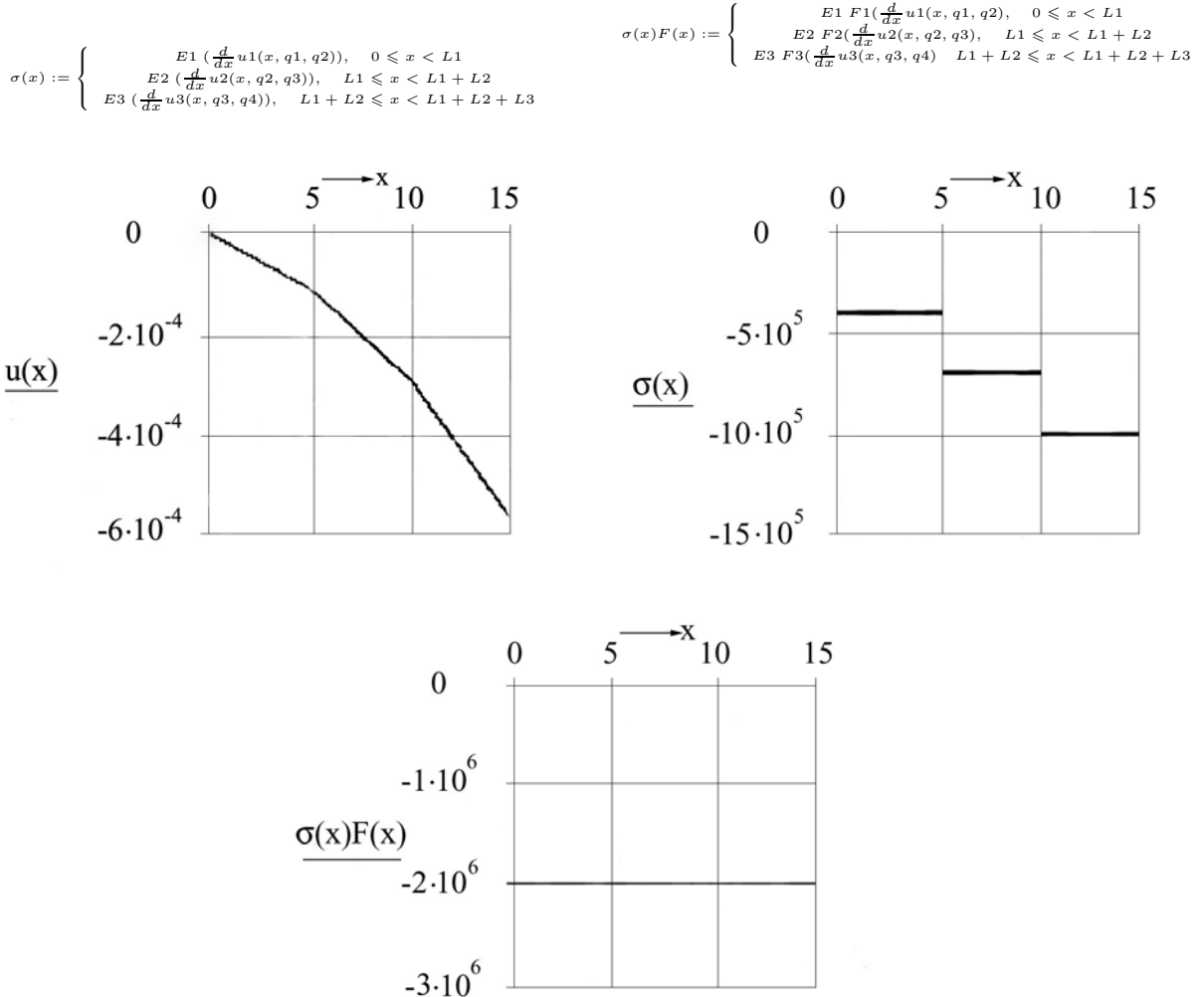


Рис. 2. Графіки лінійного переміщення $u(x)$, нормального напруження $\sigma(x)$ та осьової сили $\sigma(x)F(x)$

3) реакції скінчених елементів опори

$$\begin{pmatrix} R_{11} \\ R_{21} \end{pmatrix} := K_{e1} \cdot \begin{pmatrix} q_1 \\ q_2 \end{pmatrix},$$

$$\begin{pmatrix} R_{12} \\ R_{22} \end{pmatrix} := K_{e2} \cdot \begin{pmatrix} q_2 \\ q_3 \end{pmatrix},$$

$$\begin{pmatrix} R_{13} \\ R_{23} \end{pmatrix} := K_{e3} \cdot \begin{pmatrix} q_3 \\ q_4 \end{pmatrix}$$

і їх числові значення

$$\begin{pmatrix} R_{11} \\ R_{21} \end{pmatrix} = \begin{pmatrix} 2 \times 10^6 \\ -2 \times 10^6 \end{pmatrix} N,$$

$$\begin{pmatrix} R_{12} \\ R_{22} \end{pmatrix} = \begin{pmatrix} 2 \times 10^6 \\ -2 \times 10^6 \end{pmatrix} N,$$

$$\begin{pmatrix} R_{13} \\ R_{23} \end{pmatrix} = \begin{pmatrix} 2 \times 10^6 \\ -2 \times 10^6 \end{pmatrix} N,$$

$$4) \text{ реакція опори } Ps := K_{sf} \cdot \begin{pmatrix} q_2 \\ q_3 \\ q_4 \end{pmatrix},$$

$$Ps \rightarrow 2000000.000000000000 N = 2 \times 10^6 N.$$

Відзначимо, що цю програму можна застосовувати для розрахунку одно-, двох- і трьохелементної мостової опори. Якщо опора одноелементна, то потрібно покласти для модуля Юнга $E1 = E2 = E3$, для площин поперечного перерізу $F1 = F2 = F3$, а для довжини $L1 + L2 + L3 = L$, причому $L1 \neq 0$, $L2 \neq 0$, $L3 \neq 0$; l – повна довжина опори; для двохелементної мостової опори відповідно буде – $E1 = E2$, $F1 = F2$, $L1 + L2 = L - L3$.

4. Висновки Застосування MathCAD дало змогу трансформувати МСЕ у закінчений програмний продукт, побудувавши свого роду міст по-перше, між спеціалістами, які займаються винятково теоретичними розробками в галузі проектування мостових споруд та фахівцями, що розро-

бляють спеціалізовані системи і адаптують результати математичного моделювання деформацій і напружень у будівельних об'єктах; по-друге, між теоретичними фактами, які засвоюють студенти при засвоєнні методів математичного моделювання, зокрема механіки будівельних споруд та практичним використанням ними набутих знань створенням і експлуатацією відповідного програмного забезпечення.

Розглянута як приклад трансформація МСЕ в програмний продукт системи MathCAD може бути застосованою:
у разі теоретичного засвоєння МСЕ;
у разі вивчення системи MathCAD.

Розроблений програмний комплекс можна використовувати науковцями-фахівцями для розрахунку реальних мостових опор та математиками-програмістами під час створення нових спеціальних програмних систем, що реалізують МСЕ.

Бібліографія

- [1] Аладьев В.З., Гершгорн Н.А. *Вычислительные задачи на персональном компьютере*. — К.: Техника, 1991. — 245 с.
- [2] Дьяконов В. *MathCAD 2000: учебный курс*. — СПб.: Питер, 2000. — 592 с.
- [3] Аргирис Д. *Современные достижения в методах расчета конструкций с применением матриц*. — М.: Изд-во иностр. лит., 1968. — 240 с.
- [4] Галушко В.Г. *Вероятностно-статистические методы на автостраде*. — К.: Вища шк., 1976. — 232 с.
- [5] Гловински Р., Лионс Ж.-Л., Тремольєр Р. *Численное исследование вариационных неравенств*. — М.: Мир, 1979. — 574 с.
- [6] Ігнатішин М.І. Аналіз чисельних методів розрахунку мостових конструкцій // Механіка і фізика руйнування будівельних матеріалів та конструкцій / за заг. ред. Й. Й. Лучка. — Львів: Каменяр, 2005. — № 6. — С. 659–668.
- [7] Лучко Й., Артъым И.Т., Гаврыляк А.И., Кархут И.И. Автоматизированный стенд для испытания железобетонных конструкций // Стройт. материалы и конструкции. — 1989. — № 2. — С. 28–29.
- [8] Абовский Н.П., Андреев Н.П., Деруга А.П. *Вариационные принципы в теории упругости и теории оболочек*. — М.: Наука, 1978. — 288 с.
- [9] Поляков Л.П., Файнбурд В.М. *Моделирование строительных конструкций* — К.: Будівельник, 1975. — 160 с.
- [10] Тимошенко С.П. Гудъер Д. *Теория упругости*. — М.: Наука, 1975. — 575 с.
- [11] Барашиков А.Я., Сирота М.Д. *Надежность зданий и сооружений: учебное пособие*. — К.: УМК ВО, 1993. — 212 с.
- [12] Галлагер Р. *Метод конечных элементов. Основы*. — М.: Мир, 1984. — 428 с.